

Алгоритм численного решения задачи с сингулярностью

Ф. О. Найдюк

Ростовский государственный университет путей
сообщения, Воронежский филиал
Воронеж, Россия
hakeph@ya.ru

Е. Н. Десятирикова¹, С. А. Чепелев, О. В. Курипта

Воронежский государственный технический
университет
Воронеж, Россия
¹science2000@ya.ru

И. М. Губкин

Воронежский государственный медицинский университет
Воронеж, Россия
gubkin7@ya.ru

Аннотация. В статье рассмотрена задача с сингулярностью, благодаря которой возможно моделирование широкого класса процессов различной природы. Для этой задачи построен численный алгоритм пригодный к использованию вычислительных мощностей ЭВМ. Предложен к рассмотрению пример иллюстрирующий реализацию предложенного численного алгоритма в системе компьютерной алгебры Maxima, базирующейся на языке Common Lisp в приложении к задаче анестезиологического пособия при хирургических операциях на открытом сердце.

Ключевые слова: уравнение гиперболического типа; численное интегрирование; геометрический граф; смешанная задача; функция Грина; моделирование анестезиологического пособия

I. АКТУАЛЬНОСТЬ

Широкий класс самых разнообразных физических, биологических и экономических процессов может быть смоделирован уравнением типа (см., например, [1])

$$u_{xx}(x, t) - q(x)u(x, t) = u_{tt}(x, t) \quad (x \in \Gamma, t > 0), \quad (1)$$

в котором Γ – геометрический граф (сеть), а $q(x)$ – конечная линейная комбинация δ и δ' функций с носителями в точках из Γ

$$q(x) = \sum_i k_i \delta(x - x_i) + \sum_j \tilde{k}_j \delta'(x - \tilde{x}_j).$$

Перечень задач моделирования, использующих в качестве инструмента уравнение (1) охватывает: процессы в сетях волноводов [2], деформации и колебания стержневых решёток, деформации упругих сеток и струнно-стержневых систем (см., например [3, 4, 2]),

Статья подготовлена на основе научных исследований, выполненных при финансовой поддержке гранта Российского научного фонда «Программно-целевое управление комплексным развитием Арктической зоны РФ (проект №14-38-00009)». Санкт-Петербургский политехнический университет Петра Великого.

диффузия в сетях (см., например [5]), распространение электрического потенциала в нейроне и нейронных сетях, бифуркация вихревых течений в жидкости, гемодинамика, колебания сложных молекул, расчёт гидравлических сетей.

Особым интересом при рассмотрении этих задач является прогнозирование состояния упругих связей в любой наперёд заданный промежуток времени для любого узла сети.

Подход, в котором решение уравнения (1) может быть представлено в виде, подходящем для построения вычислительных алгоритмов, наиболее пригодных к использованию вычислительных мощностей ЭВМ (см., например [6]) видится наиболее перспективным.

II. БАЗИСНАЯ ОСНОВА АЛГОРИТМА ЧИСЛЕННОГО РЕШЕНИЯ ЗАДАЧИ С СИНГУЛЯРНОСТЬЮ

Рассматривается математическая модель:

$$\begin{cases} u_{xx}(x, t) = u_{tt}(x, t) & (0 < x < \ell, t > 0) \\ l_1(u(\cdot, t)) = 0, l_2(u(\cdot, t)) = 0 & (t > 0) \\ u(x, 0) = \varphi(x), u_t(x, 0) = \psi(x) & (0 \leq x \leq \ell) \end{cases}, \quad (2)$$

где $\varphi \in C^2[0; \ell]$, $\psi \in C^1[0; \ell]$, $l_1: l_1 y = y(0)$ или $l_1 y = y'(0)$, $l_2 y = y'(\ell) + k y(\ell)$.

Модель (2) может являться описанием физического процесса колебания в вертикальной плоскости следующих систем:



Рис. 1. Колебания струны с подпружиненным концом

Система представляет растянутую струну, один конец которой жёстко закреплён (рис. 1а) или свободно (без

трения) движется только в вертикальном направлении (рис. 1б), а второй – подпружинен и скользит без трения по (несгибаемой) спице в вертикальном направлении. В состоянии равновесия струна расположена в горизонтальном положении.

Цель задачи (2) – получение решения подходящего для построения вычислительного алгоритма с любой наперед заданной точностью.

Замечание. Условие $\psi(x) \equiv 0$ не сужает общность исследования задачи (2), поэтому будет рассмотрен именно такой случай.

Пусть $G(x, s)$ – функция Грина краевой задачи:

$$\begin{cases} y''(x) = f(x) \\ l_1 y = 0, l_2 y = 0 \end{cases}$$

Определение. Функция $g(x, t, s)$ называется фундаментальным решением задачи (2), если оно является решением задачи (2) заменой $\varphi(x)$ на $G(x, s)$.

Утверждение 1. Фундаментальное решение задачи (2) представимо в виде аналога формулы Даламбера-Эйлера (см., например, [7])

$$g(x, t, s) = \frac{1}{2} (\tilde{g}(x+t, s) + \tilde{g}(x-t, s)), \quad (3)$$

$$\text{где } \tilde{g}(y, s) = \begin{cases} \tilde{g}_1(y, s), & -\ell \leq y - 2n\ell < -s \\ \tilde{g}_2(y, s), & -s \leq y - 2n\ell < s \\ \tilde{g}_3(y, s), & s \leq y - 2n\ell < \ell \end{cases}$$

$$\begin{aligned} \tilde{g}_1(y, s) = & (-\mu)^n (\alpha_2(y - 2n\ell) + s) - (-\mu)^n \sum_{i=1}^n \Re_i^n(2ky) e^{-ky} \cdot (f_{n,i}(y, s, \alpha_2, s) - \\ & - f_{n,i}((2n-1)\ell, s, \alpha_2, s)) - \sum_{j=1}^{n-1} (-\mu)^j \sum_{i=1}^j \Re_i^j(2ky) e^{-ky} \cdot (f_{j,i}(2j\ell - s, s, \alpha_2, s) - \\ & - f_{j,i}((2j-1)\ell, s, \alpha_2, s) + f_{j,i}(2j\ell + s, s, \alpha_1, 0) - f_{j,i}(2j\ell - s, s, \alpha_1, 0) + \\ & + f_{j,i}((2j+1)\ell, s, \alpha_2, -s) - f_{j,i}(2j\ell + s, s, \alpha_2, -s)), \end{aligned}$$

$$\begin{aligned} \tilde{g}_2(y, s) = & (-\mu)^n \alpha_1(y - 2n\ell) - (-\mu)^n \sum_{i=1}^n \Re_i^n(2ky) e^{-ky} \cdot (f_{n,i}(2n\ell - s, s, \alpha_2, s) - \\ & - f_{n,i}((2n-1)\ell, s, \alpha_2, s) + f_{n,i}(y, s, \alpha_1, 0) - f_{n,i}(2n\ell - s, s, \alpha_1, 0)) - \\ & - \sum_{j=1}^{n-1} (-\mu)^j \sum_{i=1}^j \Re_i^j(2ky) e^{-ky} \cdot (f_{j,i}(2j\ell - s, s, \alpha_2, s) - f_{j,i}(2j\ell - s, s, \alpha_1, 0) - \\ & - f_{j,i}((2j-1)\ell - s, s, \alpha_2, s) + f_{j,i}((2j+1)\ell, s, \alpha_2, -s) + \\ & + f_{j,i}(2j\ell + s, s, \alpha_1, 0) - f_{j,i}(2j\ell + s, s, \alpha_2, -s)), \end{aligned}$$

$$\begin{aligned} \tilde{g}_3(y, s) = & (-\mu)^n \alpha_1(y - 2n\ell) - (-\mu)^n \sum_{i=1}^n \Re_i^n(2ky) e^{-ky} \cdot (f_{n,i}(2n\ell - s, s, \alpha_2, s) - \\ & - f_{n,i}((2n-1)\ell, s, \alpha_2, s) + f_{n,i}(2n\ell + s, s, \alpha_1, 0) - f_{n,i}(2n\ell - s, s, \alpha_1, 0) + \\ & + f_{n,i}(y, s, \alpha_2, -s) - f_{n,i}(2n\ell + s, s, \alpha_2, -s)) - \end{aligned}$$

$$\begin{aligned} & - \sum_{j=1}^{n-1} (-\mu)^j \sum_{i=1}^j \Re_i^j(2ky) e^{-ky} \cdot (f_{j,i}(2j\ell - s, s, \alpha_2, s) - f_{j,i}(2j\ell - s, s, \alpha_1, 0) - \\ & - f_{j,i}((2j-1)\ell - s, s, \alpha_2, s) + f_{j,i}((2j+1)\ell, s, \alpha_2, -s) + \\ & + f_{j,i}(2j\ell + s, s, \alpha_1, 0) - f_{j,i}(2j\ell + s, s, \alpha_2, -s)), \end{aligned}$$

$$f_{n,i}(y, s, b, \alpha_p) = e^{ky} \left(\frac{b}{k} y^i + \sum_{m=0}^{i-1} (-1)^{m+1} y^{i-m-1} \left\{ b \frac{i \cdot \dots \cdot (i-m)}{k^{m+2}} - (\alpha_p - 2n\ell \cdot b) \cdot \frac{(i-1) \cdot \dots \cdot (i-m)}{k^{m+1}} \right\} \right), \quad (p=1,2),$$

$$\mu = \mp 1, \alpha_1 = \frac{1+k(\ell-s)}{1+k\ell}, \alpha_2 = \frac{2+k(2\ell-s)}{1+k\ell}.$$

$$\Re_i^j(y) = \frac{(2k)^i}{(i-1)!} L_{j-i}^i(y),$$

$L_p^q(y)$ – ортогональные многочлены Лагерра.

Утверждение 2. Решение $u(x, t)$ задачи (2) представимо в виде

$$u(x, t) = - \int_0^l g(x, t, s) \varphi''(s) ds \quad (4)$$

Представление (4) решения задачи (2) позволяет построить вычислительный алгоритм, основанный на применении (на выбор) алгоритмов численного интегрирования, что позволяет находить решение задачи с любой наперед заданной точностью.

III. ДЕДУКЦИЯ АЛГОРИТМА ЧИСЛЕННОГО РЕШЕНИЯ ЗАДАЧИ С СИНГУЛЯРНОСТЬЮ

Рассматривается математическая модель:

$$\begin{cases} u_{yy}(y, t) = u_{tt}(y, t) & (0 < y < \ell, t > 0) \\ u_y(0, t) - k_1 u(0, t) = 0, u_y(\ell, t) + k_2 u(\ell, t) = 0 & (t > 0), \\ u(y, 0) = \varphi(y), u_t(y, 0) = 0 & (0 \leq y \leq \ell) \end{cases} \quad (5)$$

$k_1, k_2 \geq 0$ (не исключена возможность и $k_1 = +\infty$ и/или $k_2 = +\infty$).

Задача (2) – частный случай рассматриваемой задачи (5), которую будем обозначать через $S(\ell; k_1; k_2; \varphi(y))$ (случай $k_1 = +\infty$ или $k_1 = 0$).

Утверждение 3. Применение аналога вычислительного алгоритма задачи (2) возможно для задачи (5) в некоторой комбинации $k_1, k_2 \geq 0$.

Рассмотрим основную математическую модель задачи с сингулярностью:

$$\begin{aligned} u_{xx}(x, t) - q(x)u(x, t) &= u_{tt}(x, t) \quad (x \in \Gamma, t > 0), \\ u(x + 0 \cdot h, t) &= 0 \quad (x \in \partial\Gamma, h \in D(x), t \geq 0) \end{aligned} \quad (6)$$

$$u(x,0) = \varphi(x), \quad u_t(x,0) = 0 \quad (x \in \bar{\Gamma}). \quad (7)$$

По аналогии с (5), обозначим её через $B_m(\ell; Y; k_1; k_2; \varphi(x))$.

Модель (1), (6)–(7) может являться описанием физического процесса колебания в вертикальной плоскости следующих механических систем:

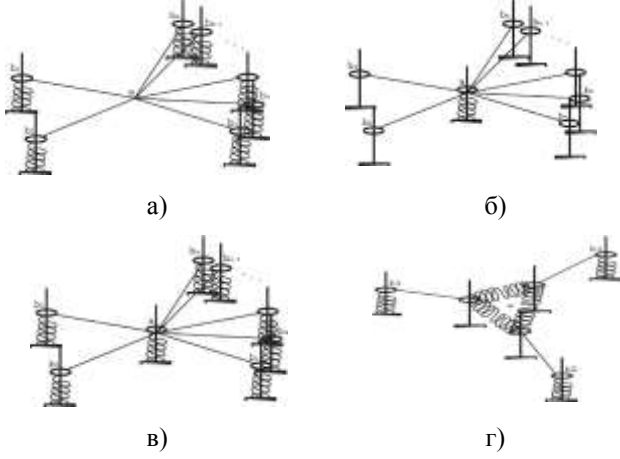


Рис. 2. Устойчивые системы с вертикальной вибрацией

Пусть $(F\varphi)(x)$ и $(G_i\varphi)(x)$ операторы на Γ :

$$(F\varphi)(x) = \frac{1}{m} \sum_{i=1}^m \varphi(a + \|x - a\| h_i), \quad x \in \bar{\Gamma}$$

$$(G_i\varphi)(x) = \begin{cases} (F\varphi)(x) - \varphi(a + \|x - a\| h_i) & x \in \bar{\gamma}_1 \\ \varphi(a + \|x - a\| h_i) - (F\varphi)(x) & x \in \bar{\gamma}_i \\ 0 & x \in \bar{\Gamma} \setminus (\bar{\gamma}_1 \cup \bar{\gamma}_i) \end{cases}$$

где $h_i = \frac{1}{\|b_i - a\|} (b_i - a)$ – ориентация на Γ .

Определение. $K_m^B(\ell; Y; k_1; k_2)$ – класс начальных данных задачи $B_m(\ell; Y; k_1; k_2; \varphi(x))$, определяемый условиями $\varphi(x) \in \tilde{C}^2(R(\Gamma))$, $\varphi(x) = 0$, $\varphi_{hh}^{++}(x) = 0$ для $x \in \partial\Gamma$; $\sum_{h \in D(z)} \varphi_h^+(z) - k_z \varphi(z) = 0$, $\varphi_{hh}^{++}(z) = \varphi_{h_1 h_1}^{++}(z)$

для $z \in J(\Gamma)$ и $\forall h, h_1 \in D(z)$ $(D(z) = \{h \in R^n : \|h\| = 1, \forall (\varepsilon > 0) \forall (a \in \Gamma) [a + \varepsilon h \in \Gamma]\})$, $\varphi_h(y + 0 \cdot h) = \sum_{\eta \in D(y) \setminus \{h\}} \tilde{k}_y (\varphi(y + 0 \cdot h) - \varphi(y + 0 \cdot \eta))$ для $y \in Y$ ($Y \subset \{a, b_1, \dots, b_m\}$).

Утверждение 4. Решение задачи $B_m(\ell; Y; k_1; k_2; \varphi(x))$ $u^\varphi(x, t)$ ($x \in \Gamma$, $t > 0$) представимо в виде

$$u^\varphi(x, t) = u^{(F\varphi)}(x, t) + \sum_{i=2}^m u^{(G_i\varphi)}(x, t),$$

где $u^{(F\varphi)}(x, t)$ – решение задачи $B_m(\ell; Y; k_1; k_2; (F\varphi)(x))$, а $u^{(G_i\varphi)}(x, t)$ – решение задачи $B_m(\ell; Y; k_1; k_2; (G_i\varphi)(x))$ ($i = \overline{2, m}$).

Утверждение 5. Пусть $\varphi(x) \in K_m^B(\ell; 0; k_1; k_2)$, где пара $(k_1, k_2) = \{(0, k), (k, 0), (k, +\infty), (mk, k)\}$ ($k > 0$). Тогда: $u^{(F\varphi)}(x, t)$ – решение задачи $B_m(\ell; 0; k_1; k_2; (F\varphi)(x))$ существует, причём для любого $h \in D(a)$ функция $u^{(F\varphi)}(a + yh, t)$ не зависит от выбора h и является решением задачи $S(\ell; \frac{k_1}{m}; k_2; (F\varphi)(a + yh))$; $\forall (i = \overline{2, m})$ $u^{(G_i\varphi)}(x, t)$ – решение задачи $B_m(\ell; 0; k_1; k_2; (G_i\varphi)(x))$ существует, причём функция $u^{(G_i\varphi)}(a + yh_1, t)$ является решением задачи $S(\ell; +\infty; k_2; (G_i\varphi)(a + yh_1))$ и, кроме того, $u^{(G_i\varphi)}(a + yh_i, t) = -u^{(G_i\varphi)}(a + yh_1, t)$ и, если $h \notin \{h_1, h_i\}$, то $u^{(G_i\varphi)}(a + yh, t) \equiv 0$.

Утверждение 6. Пусть $\varphi(x) \in K_m^B(\ell; \{a\}; k_1; k_2)$, где пара $(k_1, k_2) = \left\{ \left(\frac{k}{m}, 0 \right), \left(\frac{k}{m}, k \right), \left(\frac{k}{m}, +\infty \right) \right\}$ ($k > 0$). Тогда: $u^{(F\varphi)}(x, t)$ – решение задачи $B_m(\ell; \{a\}; k_1; k_2; (F\varphi)(x))$ существует, причём для любого $h \in D(a)$ функция $u^{(F\varphi)}(a + yh, t)$ не зависит от выбора h и является решением задачи $S(\ell; 0; k_2; (F\varphi)(a + yh))$; $\forall (i = \overline{2, m})$ $u^{(G_i\varphi)}(x, t)$ – решение задачи $B_m(\ell; \{a\}; k_1; k_2; (G_i\varphi)(x))$ существует, причём функция $u^{(G_i\varphi)}(a + yh_1, t)$ является решением задачи $S(\ell; k; k_2; (G_i\varphi)(a + yh_1))$ и, кроме того, $u^{(G_i\varphi)}(a + yh_i, t) = -u^{(G_i\varphi)}(a + yh_1, t)$ и, если $h \notin \{h_1, h_i\}$, то $u^{(G_i\varphi)}(a + yh, t) \equiv 0$.

Последние утверждения доказывают возможность применения для задач $B_m(\ell; Y; k_1; k_2; \varphi(x))$ вычислительного алгоритма полученного для задачи (2).

IV. ПРИМЕР РЕАЛИЗАЦИИ АЛГОРИТМА

Предложенный численный алгоритм может применяться для расчетов колебаний в системе упруго связанных элементов [8, 9] Рассмотрим пример реализации введённого численного алгоритма на отдельной системе анестезиологического обеспечения у больных, перенесших прямую реваскуляризацию миокарда [10]. Моделью выбора анестезиологического пособия с целью снижения частоты осложнений различного характера и этиологии в периоперационном периоде может служить струнная система, изображённая на рис. 3 (центральная часть имеет упругую опору с коэффициентом жёсткости k , а границы могут свободно перемещаться в вертикальной плоскости):

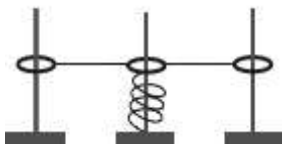


Рис. 3. Система для анализа работы алгоритма

В модели, пружина жёсткости k является средством управления и регулирования всей системы в целом и отражает стратегию, с помощью которой анализируется поведение системы. При выборе стратегии интра- и послеоперационного обезболивания пружина или растягивается, или сжимается, что обуславливает прогноз хирургического лечения.

На рис. 4 представлено начальное возмущение в системе:

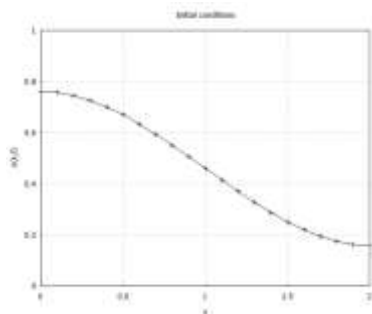
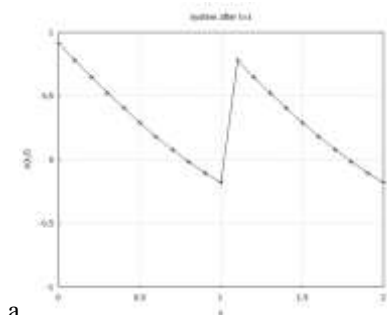
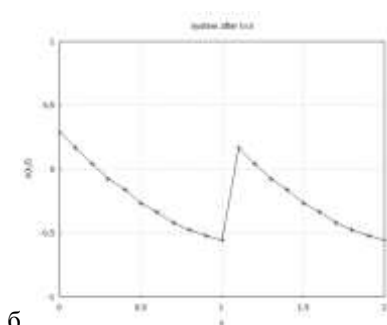


Рис. 4. Начальное возмущение

Реализация алгоритма, основанного на утверждениях 5 и 1 была осуществлена в системе компьютерной алгебры Maxima, базирующейся на языке Common Lisp [11]. Вычисление решения в форме интеграла (4) реализовано с использованием квадратурной формулы трапеций, обеспечившей погрешность порядка 0,01. Результаты такой реализации приведены на рис. 5:



а



б

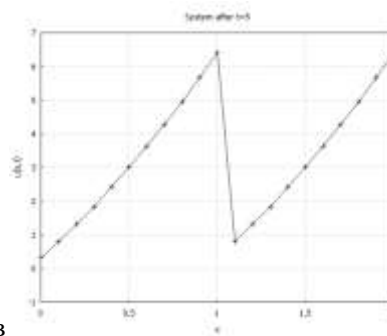


Рис. 5. Поведение системы: а – система после $t = 1$; б – система после $t=3$; в – система после $t = 5$.

СПИСОК ЛИТЕРАТУРЫ

- [1] Рябенкий В.С., Филиппов А.Ф. Об устойчивости разностных уравнений. М.: Гос. изд-во технико-теоретич. лит., 1956. 171 с.
- [2] Покорный Ю.В., Прядиев В.Л., Боровских А.В. Волновое уравнение на пространственной сети // Доклады РАН. 2003. Т.388, №1. С.16-18.
- [3] Найдюк Ф.О. Исследование формулы Даламбера для волнового уравнения на отрезке с краевым условием третьего рода / Воронеж. гос. ун-т. Воронеж, 2003. Деп. в ВИНТИ 07.07.03, 23 с. № 1288-B2003.
- [4] Провоторов В.В. Математическое моделирование колебательных процессов поддерживающих растяжек упругой мачты // Вестник Воронежского государственного университета. Сер. Системный Анализ и Информационные Технологии. 2006. № 2. С. 28-35.
- [5] Боровикова М.М., Задорожний В.Г. Моделирование диффузии вещества в плоской случайно-неоднородной среде // Вестник Воронежского государственного университета. Сер. Системный Анализ и Информационные Технологии. 2006. № 2. С. 10-18.
- [6] Самарский А.А., Гулин А.В. Численные методы математической физики. М.: Научный мир, 2003. 316 с.
- [7] Найдюк Ф.О., Десятирикова Е.Н., Проскурин Д.К. Численное решение задач о колебаниях // Вестник Воронежского государственного университета. Сер. Системный анализ и информационные технологии. 2013. № 1. С. 55-60.
- [8] A.V. Shymchenko, V.V. Tereshchenko, Y.A. Ryabov, S.V. Salkutsan, and A.I. Borovkov, "Review of the computational approaches to advanced materials simulation in accordance with modern advanced manufacturing trends," *Materials Physics and Mechanics*, 2017, vol. 32, no. 3, pp. 328-352.
- [9] A.U. Zobacheva, A.S. Nemov, and A.I. Borovkov, "Multiscale simulations of novel additive manufactured continuous fiber-reinforced threecomponent composite material," *Materials Physics and Mechanics*, 2017, vol. 32, no. 1, pp. 74-82.
- [10] Губкин И.М. Высокая эпидуральная блокада как спинальный компонент анестезиологического пособия при операциях аорто-коронарного шунтирования: Дис. ... канд. мед.наук / Воронеж. госуд.медицинская академия. Воронеж, 2003. 134с.
- [11] Y. Klochkov, A. Gazizulina, N. Golovin, A. Glushkova, and S. Zh, "Information model-based forecasting of technological process state," *2017 International Conference on Infocom Technologies and Unmanned Systems: Trends and Future Directions, ICTUS 2017, 2018*, pp. 709-712. doi:10.1109/ICTUS.2017.8286099